



部の汀線は後退する。一方、波向がWの場合波の入射角は汀線に対して約 $20^\circ$ となり、来襲波浪の波高が波向SSWに比べて一般に小さくなるため、汀線の後退は顕著でなく、全体的に前進する傾向である。しかし、離岸堤前面および端部での洗堀がかなり著しくなっている。図-5は離岸堤各工法による汀線変化を比較したものであって、3基の離岸堤を汀線と平行に設置したRun.3の初期汀線からの後退量が最も少ないようである。

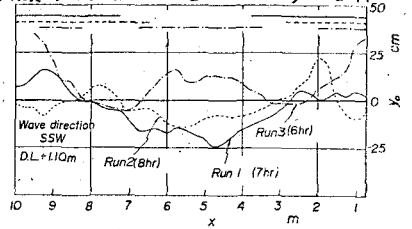


図-5 離岸堤工法による汀線形状比較図

6) 安定海浜工法 この実験では、まず冬期季節風時に対応したW方向の波を作用させ、次にその変形した海浜に台風時のSSW方向の波を作用させた。図-6は汀線変化量の時間的変化を示しており、W方向の波を作用させた場合図-6(a)のように8mから9.5mの下手側海浜の汀線の変化も時間の経過とともに減少し、安定な汀線形状を示すようになることがわかる。一方、上手側海浜は下手側海浜に比べて沿岸漂砂量が少ないことと、ヘッドランドに沿って遡上した波が上手側へと流れるために比較的大きな汀線の変化を示している。さらに、台風時に対応したSSW方向の波を作用させると図-6(b)のように、波向Wの波によって形づくられた下手側海浜の汀線は若干後退するものの、その形状にほとんど変化が見られない。図8は沿岸方向に平均した汀線変化量の時間的変化を示したもので、波向Wによって時間の経過とともに汀線変化は減少し、安定な汀線となるが、波向SSWの波を作用させても再びすぐに汀線は安定となることを示している。図9はヘッドランドに対する初期汀線位置の変化による汀線変化量を示すもので、ヘッドランド先端による波の回折効果によって形成される湾入部および下手側ヘッドランドと砂浜との接続の状態は、初期汀線をヘッドランドの中間とした場合が良好であることがわかる。

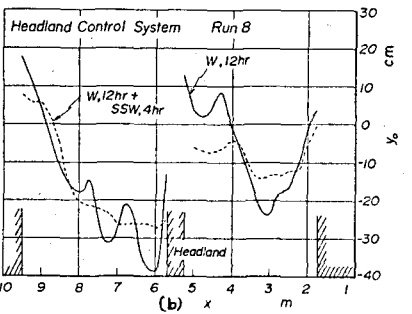
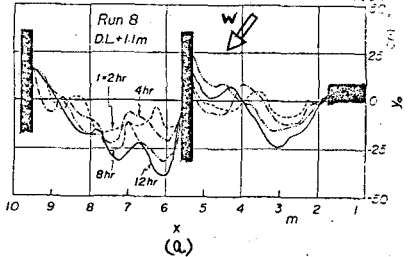


図-6 汀線変化量の時間的変化

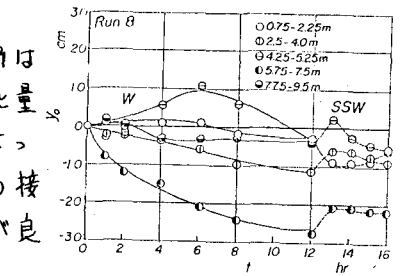


図-7 汀線の時間的変化

4. 結語：以上のように、片男波海岸では離岸堤工法を用いた場合、離岸堤背後の波浪遮閉域ではトンボ口の形成が見られるが、開口部の汀線変化が大きく、また離岸堤前面および端部での海底の洗堀が著しいが、Run 3の配置がこの中では最良である。一方、安定海浜工法では、ヘッドランドの配置や構造に考慮すべき点が残されているが、波向が変化した場合にもヘッドランドに挟まれた海域内で漂砂はほぼ収めており、比較的安定な海浜が形成される。本研究は、御協力がたいへん和歌山県土木部港湾課横山課長はじめ、関係諸官に敬意を表明する。

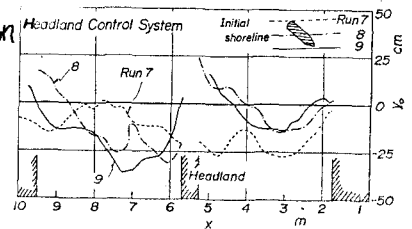


図-8 汀線位置の変化による汀線変化量